

УДК 550.388.2

## СВОЙСТВА ИЗМЕНЧИВОСТИ КОНЦЕНТРАЦИИ МАКСИМУМА *F<sub>2</sub>*-СЛОЯ НАД АЛМА-АТОЙ ПРИ РАЗНЫХ УРОВНЯХ СОЛНЕЧНОЙ И ГЕОМАГНИТНОЙ АКТИВНОСТИ

© 2023 г. М. Г. Деминов<sup>1</sup>, \*, Г. Ф. Деминова<sup>1</sup>, В. Х. Депуев<sup>1</sup>, А. Х. Депуева<sup>1</sup>

<sup>1</sup>Институт земного магнетизма, ионосферы и распространения радиоволн  
им. Н.В. Пушкина РАН (ИЗМИРАН), Москва, Троицк, Россия

\*e-mail: deminov@izmiran.ru

Поступила в редакцию 10.03.2023 г.

После доработки 11.04.2023 г.

Принята к публикации 25.05.2023 г.

На основе часовых данных ст. Алма-Ата ( $43.2^{\circ}$  N,  $104^{\circ}$  E) за 1958–1988 гг. проведен анализ свойств изменчивости концентрации максимума *F<sub>2</sub>*-слоя *Nm* при разных уровнях солнечной и геомагнитной активности. Для характеристик этой изменчивости использованы стандартное отклонение  $\sigma(x)$  флюктуаций *Nm* относительно спокойного уровня ( $x = (Nm/Nm_0 - 1) \times 100, \%$ ) и средний сдвиг этих флюктуаций  $x_{ave}$ . На этом пути создана эмпирическая модель концентрации максимума *F<sub>2</sub>*-слоя *Nm<sub>0</sub>* для низкой геомагнитной активности. Получено, что изменчивость *Nm* слабо зависит от уровня солнечной активности. Зависимость изменчивости *Nm* от геомагнитной активности является одной из основных, наряду с зависимостями этой изменчивости от времени суток и сезона. В целом дисперсия  $\sigma^2(x)$  для спокойных условий меньше, чем для периодов высокой геомагнитной активности. Однако в периоды высокой геомагнитной активности дальнейший рост геомагнитной активности не приводит к увеличению дисперсии  $\sigma^2(x)$ . Насыщение в увеличении дисперсии  $\sigma^2(x)$  при продолжающемся увеличении геомагнитной активности и отсутствие этого насыщения для среднего сдвига  $x_{ave}$ , по-видимому, является устойчивым свойством изменчивости ионосферы средних широт в периоды геомагнитных бурь. Этот вывод получен на основе дополнительного анализа изменчивости ионосферы по данным станций Иркутск и Ямагава (Yamagawa), которые расположены примерно на 10 градусов севернее и южнее ст. Алма-Ата соответственно.

DOI: 10.31857/S0016794023600308, EDN: UBNRBU

### 1. ВВЕДЕНИЕ

Изменчивость концентрации максимума *F<sub>2</sub>*-слоя ионосферы *Nm* (или критической частоты  $foF2 \sim Nm^{1/2}$ ) исследовалась неоднократно [Forbes et al., 2000; Rishbeth and Mendillo, 2001; Araujo-Pradere et al., 2005; Fotiadis and Kouris, 2006; Altadill, 2007; Zhang and Holt, 2008; Pirog et al., 2011; Deminov et al., 2013; Ratovsky et al., 2015, 2023]. В этих работах изменчивость *Nm* оценивалась по величине стандартного (или среднеквадратичного) отклонения *Nm* относительно фона. В качестве этого фона выбирались средние за месяц значения *Nm* или  $foF2$  [Forbes et al., 2000; Rishbeth and Mendillo, 2001; Araujo-Pradere et al., 2005], локальные модели средних за месяц значений высотного распределения концентрации электронов [Altadill, 2007; Zhang and Holt, 2008], медианы *Nm* за 15 дней для периодов низкой солнечной и геомагнитной активности [Deminov et al., 2013], медианы *Nm* за 27 дней [Ratovsky et al., 2015, 2023] или медианы  $foF2$  за месяц [Fotiadis and Kouris, 2006].

Среднее за месяц значение *Nm* и медиана *Nm* зависят от геомагнитной активности, однако эта зависимость обычно неизвестна. Поэтому использование этих характеристик ионосферы для сравнительных оценок изменчивости *Nm* при разных уровнях геомагнитной активности становится недостаточным. Например, использование средних за месяц значений *Nm* в качестве фона приводит к невозможности оценки среднего сдвига (систематического изменения) концентрации электронов максимума *F<sub>2</sub>*-слоя при изменении геомагнитной активности. Более точный подход к оценке изменчивости концентрации этого максимума связан с использованием в качестве фона средних значений *Nm* для низкой геомагнитной активности. Получение таких значений *Nm* сопряжено с определенными трудностями, поскольку периоды продолжительной низкой геомагнитной активности встречаются нечасто (см., например, [Rishbeth and Mendillo, 2001]). Один из способов преодоления этой проблемы связан с построением локальной эмпирической

модели  $Nm$  для низкой геомагнитной активности по данным  $Nm$  конкретной станции за интервал не менее 30 лет, поскольку число магнитоспокойных дней в таком большом массиве данных обычно достаточно для построения такой модели [Деминов и др., 2009]. Этот способ определения статистических свойств флуктуаций  $Nm$  относительно спокойного уровня при разных уровнях солнечной и геомагнитной активности был реализован по данным ст. Иркутск ( $52.5^\circ$  N,  $104^\circ$  E,  $\Phi = 47.0^\circ$  N) за 1958–1992 гг. [Деминов и др., 2015]. Здесь и ниже  $\Phi$  – исправленная геомагнитная широта станции за 1980 г., которая получена по Интернет (<https://omniweb.gsfc.nasa.gov/vitmo>).

Статистические свойства флуктуаций  $Nm$  на разных широтах могут существенно различаться даже в пределах среднеширотной области. Проверка этого предположения на основе анализа свойств флуктуаций  $Nm$  относительно спокойного уровня по данным ст. Алма-Ата ( $52.5^\circ$  N,  $104^\circ$  E,  $\Phi = 37.9^\circ$  N) за 1958–1988 гг. была основной целью данной работы. Дополнительно рассмотрены данные ст. Ямагава (Yamagawa,  $31.2^\circ$  N,  $130.6^\circ$  E,  $\Phi = 23.9^\circ$  N) за 1958–1988 гг. для оценки тенденций в зависимости параметров флуктуаций  $Nm$  от широты при разных уровнях геомагнитной активности.

Ниже представлены результаты этой работы. Они приведены в следующей последовательности: локальная модель  $Nm$  для спокойного уровня (т.е. для низкой геомагнитной активности), статистические свойства флуктуаций  $Nm$  относительно спокойного уровня при разных уровнях солнечной и геомагнитной активности в полдень и полночь, обсуждение этих свойств и выводы.

## 2. МОДЕЛЬ КОНЦЕНТРАЦИИ МАКСИМУМА $F2$ -СЛОЯ ДЛЯ НИЗКОЙ ГЕОМАГНИТНОЙ АКТИВНОСТИ

В данном случае эмпирическая модель концентрации максимума  $F2$ -слоя для низкой геомагнитной активности  $Nm_0$  по данным конкретной станции представляет собой набор коэффициентов  $a_j$  ( $j = 0, 1, 2, 3$ ) уравнения регрессии

$$Nm_0(F) = a_0 + a_1 F + a_2 F^2 + a_3 F^3, \quad (1)$$

для каждого часа мирового времени UT с дискретностью 1 час и месяца года ( $M = 1$  – январь,  $M = 12$  – декабрь), где

$$F = 0.5(F_1 + F_m), \quad (2)$$

$F_1$  и  $F_m$  – величина потока солнечного излучения на длине волн  $10.7$  см ( $10^{-22}$  Вт/ $m^2$  Гц) в данный день и среднее за 81 день значение этого потока.

Коэффициенты  $a_j$  уравнения (1) для каждого фиксированного значения UT и M определялись по массиву данных  $Nm$  конкретной станции

(в данном случае, это часовые значения данных  $Nm$  ст. Алма-Ата за 1958–1988 гг.), из которого исключались данные, которые не удовлетворяют условию

$$ap(\tau) < 9, \quad (3)$$

где  $ap(\tau)$  – средневзвешенное значение  $ap$ -индекса геомагнитной активности с характерным временем  $T = 14$  ч или  $\tau = \exp(-3/T) \approx 0.8$  [Wrenn, 1987]:

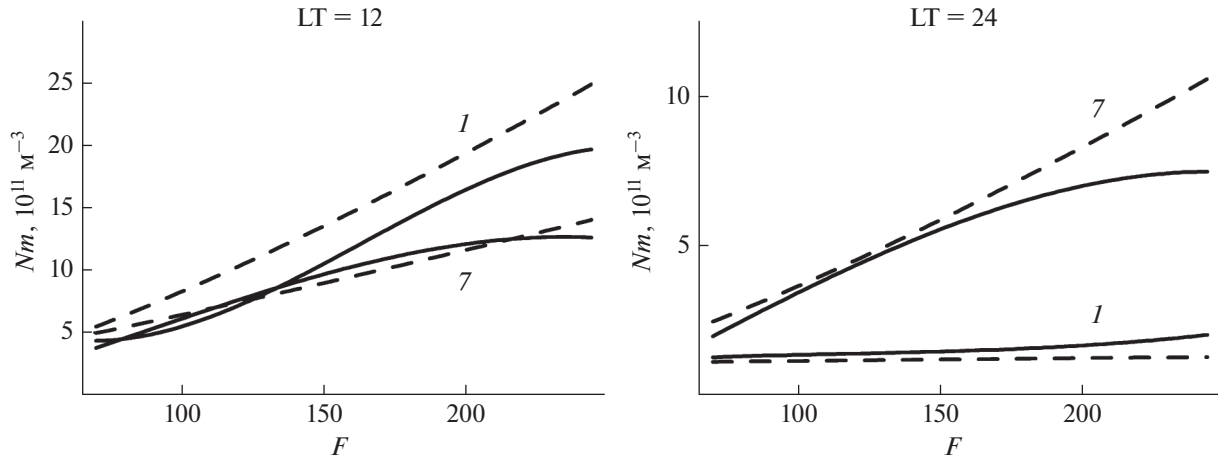
$$ap(\tau) = (1 - \tau)(ap_0 + ap_{-1}\tau + ap_{-2}\tau^2 + \dots), \quad (4)$$

$ap_0$ ,  $ap_{-1}$  и т.д. – значения  $ap$ -индекса в данный, предыдущий и т.д. трехчасовые интервалы. Условие (3) предназначено для исключения из рассмотрения эффектов магнитосферных бурь в ионосфере [Wrenn and Rodger, 1989]. В данном случае спокойная ионосфера – это ионосфера, из которой исключены эффекты магнитосферных бурь.

Выбор индекса  $F$  связан с тем, что аналогичный индекс использовался как достаточно адекватный индикатор солнечной активности для ежедневных значений солнечного ультрафиолетового излучения [Richards et al., 1994, 2006] и концентрации максимума  $F2$ -слоя [Lei et al., 2005; Liu et al., 2006; Ma et al., 2009].

Выбор критерия (3) для спокойной ионосфера, по-видимому, является оптимальным компромиссом между стремлением исключить из рассмотрения все магнитовозмущенные периоды и сохранить достаточно большой массив данных  $Nm_0$  для получения надежных статистических оценок коэффициентов уравнения регрессии (1). В данном случае число значений  $Nm_0$  по данным ст. Алма-Ата для вычисления коэффициентов уравнения (1) изменялось от 290 до 430 в зависимости от выбора мирового времени или номера месяца. Отметим, что критерий (3) почти не отличается от критерия, принятого в эмпирической модели STORM: согласно этой модели поправка  $foF2$  на геомагнитную бурю отсутствует, если  $ap(\tau) \leq 9$  нТл [Agaço-Pradere et al., 2002].

На рис. 1 показаны зависимости  $Nm_0$  от  $F$  над ст. Алма-Ата для полудня и полуночи в январе и июле, полученные по эмпирической модели (1) для низкой геомагнитной активности. Там же, для сравнения, приведены зависимости медианы концентрации максимума  $F2$ -слоя  $Nm_{med}$  от индекса  $F$  по базовой модели IRI, которая вычислена с использованием коэффициентов CCIR [Bilitza, 2018]. Для наглядности принято, что индекс  $F$  для  $Nm_0$  в данной модели совпадает с индексом  $F$  для  $Nm_{med}$  в модели IRI. Из данных на рис. 1 видна зимняя аномалия в  $Nm_0$ : полуденные значения  $Nm_0$  при  $F > 150$  зимой больше, чем летом, и эта разница увеличивается с ростом солнечной активности. Над Иркутском зимняя аномалия в



**Рис. 1.** Зависимость концентрации максимума  $F2$ -слоя  $Nm$  от уровня солнечной активности  $F$  по модели (1) для спокойных условий ( $Nm = Nm_0$ , сплошные линии) и по модели IRI ( $Nm = Nm_{med}$ , штриховые линии) в полдень (LT = 12) и полночь (LT = 24) в январе (1) и в июле (7).

$Nm_0$  наблюдается при любом уровне солнечной активности [Деминов и др., 2015]. В целом, амплитуда этой аномалии над Иркутском больше, чем над Алма-Атой, отражая известную тенденцию к увеличению амплитуды зимней аномалии в  $Nm_0$  с широтой в пределах средних широт при средней и высокой солнечной активности [Pavlov et al., 2010]. Из данных на рис. 1 видно, что в полдень в январе медиана концентрации максимума  $F2$ -слоя  $Nm_{med}$  больше концентрации этого максимума для спокойных условий  $Nm_0$  при любом уровне солнечной активности:  $Nm_{med} > Nm_0$ . Эта тенденция характерна и для концентрации максимума  $F2$ -слоя над Иркутском [Деминов и др., 2015]. Над Алма-Атой в полдень в июле величины  $Nm_{med}$  и  $Nm_0$  слабо отличаются друг от друга, и амплитуда зимней аномалии для  $Nm_{med}$  больше, чем для  $Nm_0$ , в основном из-за относительно высоких значений  $Nm_{med}$  в январе.

В полночь зимой величины  $Nm_{med}$  и  $Nm_0$  слабо отличаются друг от друга и практически не зависят от уровня солнечной активности. В полночь летом зависимости  $Nm_0$  и  $Nm_{med}$  от солнечной активности достаточно отчетливы, и в среднем  $Nm_{med}$  больше  $Nm_0$  при высокой солнечной активности из-за нелинейной зависимости  $Nm_0$  от  $F$ . Из данных на рис. 1 можно видеть также, что характеристики зависимостей  $Nm_0$  от солнечной активности в полдень и полночь во многом подобны для лета и существенно отличаются для зимы.

Разработанная модель  $Nm_0$  была использована для анализа свойств флуктуаций концентрации максимума  $F2$ -слоя (в процентах),  $x = (Nm/Nm_0 - 1) \times 100\%$ , по данным ст. Алма-Ата за 1958–1988 гг.: стандартного отклонения  $\sigma(x)$ , среднеквадратич-

ного отклонения  $s(x)$  и среднего сдвига  $x_{ave}$  этих флуктуаций относительно спокойного уровня (см., например, [Taylor, 1982]):

$$\begin{aligned} x_{ave} &= (1/n) \sum_i x_i, \quad \sigma(x)^2 = (1/n) \sum_i (x_i - x_{ave})^2, \\ s(x)^2 &= (1/n) \sum_i x_i^2 = \sigma(x)^2 + x_{ave}^2, \end{aligned} \quad (5)$$

где  $x_i = (Nm(i)/Nm_0 - 1) \times 100$ , %,  $\Sigma_i$  обозначает суммирование по индексу  $i$  от 1 до  $n$ ,  $n$  – число значений  $x$  данной выборки. При записи этих уравнений учтено, что во всех рассмотренных ниже случаях величина  $n > 100$  и можно не учитывать разницу между  $(n - 1)$  и  $n$ . Последнее из равенств (5) показывает, что квадрат среднеквадратического отклонения  $x$  относительно спокойного уровня складывается из дисперсии  $\sigma(x)^2$ , которая характеризует флуктуации  $x$  относительно их среднего значения, и квадрата этого среднего значения. Если модель (1) для спокойных условий является точной, то для этих спокойных условий величина  $x_{ave} = 0$ . Следовательно, величина  $x_{ave}$  характеризует систематическое изменение (сдвиг)  $Nm$  относительно спокойного уровня при переходе от спокойных к возмущенным условиям. Величины  $\sigma(x)$  и  $x_{ave}$  рассмотрены ниже в качестве основных характеристик флуктуаций  $Nm$  относительно спокойного уровня  $Nm_0$ , поскольку величина  $s(x)$  однозначно связана с  $\sigma(x)$  и  $x_{ave}$  уравнением, приведенным выше.

Представленные ниже результаты анализа свойств изменчивости концентрации максимума  $F2$ -слоя над Алма-Атой получены для двух значений местного времени (полдень и полночь), трех сезонов (зима – ноябрь, декабрь, январь, февраль; равноденствия – март, апрель, сентябрь, октябрь; лето – май, июнь, июль, август), для низкой ( $F < 100$ ) и высокой ( $F > 150$ ) солнечной

**Таблица 1.** Стандартное отклонение  $\sigma(x)$  и средний сдвиг  $x_{\text{ave}}$  флюктуаций  $Nm$  относительно спокойного уровня над ст. Алма-Ата при низкой геомагнитной активности ( $ap(\tau) < 9$ ) в полдень (LT = 12) и полночь (LT = 24) для трех сезонов (зима, равноденствия, лето) при низкой ( $F < 100$ ) и высокой ( $F > 150$ ) солнечной активности

Сезон	LT = 12				LT = 24			
	$F < 100$		$F > 150$		$F < 100$		$F > 150$	
	$\sigma(x)$ , %	$x_{\text{ave}}$ , %						
Зима	18.9	-1.5	14.4	-2.6	23.1	-1.1	22.3	-5.7
Равн.	18.7	2.3	11.2	1.2	19.9	-2.9	18.4	2.6
Лето	17.9	-1.2	13.5	-1.9	20.6	0.7	14.4	1.4

**Таблица 2.** Стандартное отклонение  $\sigma(x)$  и средний сдвиг  $x_{\text{ave}}$  флюктуаций  $Nm$  относительно спокойного уровня над ст. Алма-Ата в полдень (LT = 12) и полночь (LT = 24) при низкой ( $ap(\tau) < 9$ ) и высокой ( $ap(\tau) > 27$ ) геомагнитной активности для трех сезонов (зима, равноденствия, лето)

Сезон	LT = 12				LT = 24			
	$ap(\tau) < 9$		$ap(\tau) > 27$		$ap(\tau) < 9$		$ap(\tau) > 27$	
	$\sigma(x)$ , %	$x_{\text{ave}}$ , %						
Зима	18.0	-1.7	21.9	15.4	22.6	-3.1	28.9	-0.9
Равн.	15.7	2.3	26.3	3.6	19.1	-1.3	25.9	-3.3
Лето	16.8	-1.4	27.1	-12.0	18.3	0.8	23.1	-17.1

активности, низкой ( $ap(\tau) < 9$ ) и высокой ( $ap(\tau) > 27$ ) геомагнитной активности. Выбор границ для высокой солнечной и геомагнитной активности был в значительной степени обусловлен необходимостью иметь достаточное число данных  $n$  для надежных статистических оценок, и для всех приведенных ниже случаев число  $n$  было не меньше 200.

### 3. ИЗМЕНЧИВОСТЬ КОНЦЕНТРАЦИИ МАКСИМУМА $F2$ -СЛОЯ ПРИ РАЗНЫХ УРОВНЯХ СОЛНЕЧНОЙ АКТИВНОСТИ

Характеристики стандартного отклонения  $\sigma(x)$  и среднего сдвига  $x_{\text{ave}}$  флюктуаций  $Nm$  относительно спокойного уровня для низкой ( $F < 100$ ) и высокой ( $F > 150$ ) солнечной активности приведены в табл. 1. Приведенные данные в значительной степени характеризуют точность модели (1) для спокойных условий, поскольку данные в этой таблице и модель (1) получены для  $ap(\tau) < 9$ . Из этих данных следует, что для любого уровня солнечной активности выполнено условие  $\sigma(x)^2 \gg x_{\text{ave}}^2$ , т.е. систематическая ошибка модели является относительно низкой и в большинстве случаев не превышает 3%. Систематическая ошибка модели максимальна при высокой солнечной активности для зимы в полночь ( $x_{\text{ave}} = -5.7\%$ ), когда зависимость  $Nm_0$  от  $F$  является относительно слабой. В полдень величина  $\sigma(x)$  для высокой солнечной активности меньше, чем для низкой активности,

и при прочих равных условиях слабо зависит от сезона. Зимой в полночь изменчивость спокойной ионосферы больше, чем летом, при любом уровне солнечной активности. Это видно по приведенным в табл. 1 значениям  $\sigma(x)$  и  $x_{\text{ave}}$ . Для равноденствий и лета данная тенденция менее отчетлива.

### 4. ИЗМЕНЧИВОСТЬ КОНЦЕНТРАЦИИ МАКСИМУМА $F2$ -СЛОЯ ПРИ РАЗНЫХ УРОВНЯХ ГЕОМАГНИТНОЙ АКТИВНОСТИ

Зависимость стандартного отклонения  $\sigma(x)$  и среднего сдвига  $x_{\text{ave}}$  флюктуаций  $Nm$  от геомагнитной активности является одной из основных. Это следует из данных в табл. 2.

При получении данных в табл. 2 не накладывалось никаких ограничений на величину уровня солнечной активности  $F$ , поскольку зависимость  $Nm$  от геомагнитной активности более отчетлива, чем от солнечной активности. Из таблицы 2 можно видеть, что во все сезоны в полдень и полночь стандартное отклонение  $\sigma(x)$  при высокой геомагнитной активности больше, чем при низкой активности, примерно в 1.2–1.7 раза. В полдень для зимы высокой геомагнитной активности соответствует положительный сдвиг ( $x_{\text{ave}} > 0$ ), когда происходит увеличение  $Nm$  относительно спокойного уровня (положительная фаза бури). Для лета в полдень и полночь высокой геомагнитной активности соответствует отрицательный сдвиг

**Таблица 3.** Стандартное отклонение  $\sigma(x)$  и средний сдвиг  $x_{\text{ave}}$  флюктуаций  $Nm$  относительно спокойного уровня над станциями Иркутск, Алма-Ата и Ямагава при разных уровнях индекса геомагнитной активности  $ap(\tau)$  в полдень (LT = 12) и полночь (LT = 24) без разделения на уровни солнечной активности и сезоны

LT	$ap(\tau) < 9$		$48 > ap(\tau) > 27$		$ap(\tau) > 48$	
	$\sigma(x)$ , %	$x_{\text{ave}}$ , %	$\sigma(x)$ , %	$x_{\text{ave}}$ , %	$\sigma(x)$ , %	$x_{\text{ave}}$ , %
Иркутск ( $52.5^\circ$ N, $104^\circ$ E, $\Phi = 47.0^\circ$ N)						
12	16.7	-0.5	31.2	-14.2	31.8	-28.7
24	21.6	-0.8	32.8	-18.9	32.3	-35.7
Алма-Ата ( $43.2^\circ$ N, $104^\circ$ E, $\Phi = 37.9^\circ$ N)						
12	17.2	-0.4	27.4	2.6	32.1	-5.0
24	20.3	-1.3	26.9	-6.4	27.0	-17.8
Ямагава ( $31.2^\circ$ N, $130.6^\circ$ E, $\Phi = 23.9^\circ$ N)						
12	22.4	-0.3	30.4	6.0	33.8	0.3
24	24.5	-3.2	31.2	-5.7	35.2	-10.8

( $x_{\text{ave}} < 0$ ), когда происходит уменьшение  $Nm$  относительно спокойного уровня (отрицательная фаза бури). Амплитуда этой отрицательной фазы максимальна для лета в полночь при высокой геомагнитной активности. Тем не менее, даже для этих условий выполнено условие  $x_{\text{ave}}^2 < \sigma(x)^2$ , т.е. стандартное отклонение флюктуаций  $Nm$  относительно спокойного уровня превышает средний сдвиг этих флюктуаций по абсолютной величине. Для данных ст. Иркутск выполнено противоположное условие:  $x_{\text{ave}}^2 > \sigma(x)^2$  для лета в полдень и полночь при высокой геомагнитной активности [Деминов и др., 2015]. Это означает, что ионосфера над Иркутском в большей степени зависит от геомагнитной активности, чем ионосфера над Алма-Атой.

Условие  $ap(\tau) > 27$  соответствует периодам интенсивных магнитосферных суббурь и магнитных бурь. Условие  $ap(\tau) > 48$  соответствует периодам магнитных бурь. Интенсивные суббури происходят гораздо чаще магнитных бурь. Например, даже без разделения на уровни солнечной активности и сезоны число данных  $Nm$  ст. Алма-Ата (из массива за 1958–1988 гг.) в полдень равно 1100 для  $ap(\tau) > 27$  и 264 для  $ap(\tau) > 48$ . Для полночи эти числа равны 1066 и 259 для  $ap(\tau) > 27$  и  $ap(\tau) > 48$  соответственно. Поэтому условие  $ap(\tau) > 27$  соответствует в основном периодам интенсивных магнитосферных суббурь ( $48 > ap(\tau) > 27$ ). Статистически обоснованные оценки  $\sigma(x)$  и  $x_{\text{ave}}$  для периодов магнитных бурь ( $ap(\tau) > 48$ ) по этим данным возможны только без разделения на уровни солнечной активности и сезоны. Эти оценки приведены в табл. 3 для трех станций: Иркутск, Алма-Ата и Ямагава. Там же приведены географические координаты этих станций и их исправ-

ленные геомагнитные широты  $\Phi$ . Параметры флюктуаций  $Nm$  в табл. 3 для ст. Иркутск взяты из работы [Деминов и др., 2015]. Эти параметры для станций Алма-Ата и Ямагава получены по часовым данным  $Nm$  этих станций за 1958–1988 гг. по приведенной выше методике.

Из таблицы видно, что для всех анализируемых станций значения  $\sigma(x)$ : а) для интенсивных суббурь ( $48 > ap(\tau) > 27$ ) больше, чем для спокойных условий ( $ap(\tau) < 9$ ); б) не сильно отличаются для интенсивных суббурь и магнитных бурь ( $ap(\tau) > 48$ ). Средний сдвиг  $x_{\text{ave}}$  флюктуаций  $Nm$  относительно спокойного уровня  $Nm_0$  зависит от широты и местного времени. Для ст. Иркутск сдвиг  $x_{\text{ave}}$  отрицателен, абсолютная величина этого сдвига для магнитных бурь больше, чем для суббурь, и максимальна в полночь. В результате, для магнитных бурь в полночь над Иркутском выполнено условие  $x_{\text{ave}}^2 > \sigma(x)^2$ . На более низких широтах (Алма-Ата и Ямагава) систематические эффекты магнитных бурь ослаблены: в полдень сдвиг  $x_{\text{ave}}$  не превышает 6% по абсолютной величине. Для магнитных бурь в полночь сдвиг  $x_{\text{ave}}$  отрицателен, по абсолютной величине этот сдвиг для ст. Алма-Ата и Ямагава примерно в два и три раза меньше, чем для ст. Иркутск, соответственно. Следовательно, отрицательная фаза ионосферной бури для ст. Иркутск достаточно отчетлива в полдень и полночь, для ст. Алма-Ата она может быть заметна в полночь, для ст. Ямагава она выражена еще слабее.

## 5. ОБСУЖДЕНИЕ

Приведенные результаты анализа показывают, что статистические свойства флюктуаций

концентрации максимума  $F2$ -слоя  $Nm$  относительно спокойного уровня  $Nm_0$ , т.е. величины  $x = (Nm/Nm_0 - 1) \times 100, \%$ , определяются дисперсией  $\sigma^2(x)$  и средним сдвигом  $x_{ave}$  этих флуктуаций. Здесь величина  $Nm_0$  определена эмпирической моделью (1), которая основана на критерии (3) для спокойных условий.

Дисперсия  $\sigma^2(x)$  для спокойных условий, по-видимому, обусловлена флуктуациями  $Nm$  относительно спокойного уровня из-за внутренних процессов в атмосфере (внутренние гравитационные волны (ВГВ), планетарные волны и приливы) [Forbes et al., 2000; Rishbeth and Mendillo, 2001; Deminov et al., 2013]. Для низкой солнечной и геомагнитной активности величина  $\sigma(x)$  больше зимой, чем летом и в равноденствия, и во все сезоны в полночь больше, чем в полдень (см. табл. 1), что согласуется с полученными ранее оценками [Forbes et al., 2000; Rishbeth and Mendillo, 2001; Araujo-Pradere et al., 2005; Deminov et al., 2013]. Величина  $\sigma(x)$  максимальна зимой в полночь при любом уровне геомагнитной активности (см. табл. 1 и 2). Это свойство ионосферы отмечалось и ранее (см., например, [Araujo-Pradere et al., 2005]).

В целом дисперсия  $\sigma^2(x)$  для спокойных условий меньше, чем для периодов высокой геомагнитной активности. Однако в периоды высокой геомагнитной активности ( $ap(\tau) > 27$ ) дальнейший рост геомагнитной активности не приводит к увеличению дисперсии  $\sigma^2(x)$ . Такое своеобразное насыщение в увеличении дисперсии флуктуаций концентрации максимума  $F2$ -слоя было установлено по данным ст. Иркутск [Деминов и др., 2015]. Здесь это свойство ионосферы подтверждено по данным станций Алма-Ата и Ямагава. Причина данной закономерности ионосферы средних широт остается неизвестной.

Для спокойных условий средний сдвиг  $x_{ave}$  флуктуаций  $Nm$  относительно спокойного уровня  $Nm_0$  практически отсутствует ( $\sigma^2(x) \gg x_{ave}^2$ ), что характеризует качество разработанной модели  $Nm_0$  для спокойных условий. Для периодов высокой геомагнитной активности он отражает бурю в ионосфере, т.е. систематические изменения  $Nm$  относительно спокойного уровня в эти периоды. Общие закономерности бури в ионосфере средних широт известны (см., например, [Buonsanto, 1999]): положительная фаза ( $x_{ave} > 0$ ) чаще всего наблюдается зимой в дневные часы, отрицательная фаза ( $x_{ave} < 0$ ) максимальна летом вочные часы. Данные в табл. 2 для ст. Алма-Ата отражают эти закономерности бури в ионосфере средних широт: в полдень  $x_{ave} > 0$  зимой и в равноденствия и  $x_{ave} < 0$  летом; в полночь  $x_{ave} < 0$  во все сезоны с максимумом отрицательной фазы летом. Отметим, что в модели STORM [Araujo-Pradere, 2002]

нет зависимости поправки к  $f0F2$  на геомагнитную бурю от местного времени, что является одним из недостатков этой модели.

Отсутствие насыщения в величине сдвига  $x_{ave}$  для отрицательной фазы бури в ионосфере (см. таблицу 3), т.е. продолжающееся уменьшение  $Nm$  с ростом геомагнитной активности, отмечалось и ранее (см., например, [Buonsanto, 1999]). Насыщение в увеличении дисперсии  $\sigma^2(x)$  при продолжающемся увеличении геомагнитной активности и отсутствие этого насыщения для среднего сдвига  $x_{ave}$ , по-видимому, является устойчивым свойством изменчивости ионосферы средних широт в периоды геомагнитных бурь.

В периоды геомагнитных бурь ( $ap(\tau) > 48$ ) в среднем преобладает отрицательная фаза ионосферной бури ( $x_{ave} < 0$ ), абсолютная величина которой увеличивается с широтой: для ст. Иркутск и Ямагава она примерно в два раза больше и меньше соответственно, чем для ст. Алма-Ата, которая расположена примерно на 10 градусов южнее и севернее этих станций. Для  $x_{ave}$  это свойство ионосферы отмечалось неоднократно (см., например, [Buonsanto, 1999]).

## 6. ВЫВОДЫ

На основе часовых данных ст. Алма-Ата за 1958–1988 гг. проведен анализ свойств изменчивости концентрации максимума  $F2$ -слоя  $Nm$  от солнечной и геомагнитной активности. В качестве характеристик этой изменчивости использованы стандартное отклонение  $\sigma(x)$  флуктуаций  $Nm$  относительно спокойного уровня ( $x = (Nm/Nm_0 - 1) \times 100, \%$ ) и средний сдвиг этих флуктуаций  $x_{ave}$  относительно этого уровня. На этом пути создана эмпирическая модель концентрации максимума  $F2$ -слоя  $Nm_0$  для низкой геомагнитной активности, которая дает нелинейную зависимость  $Nm_0$  от уровня солнечной активности для каждого часа мирового времени и каждого месяца года. Получены следующие выводы.

1. Изменчивость  $Nm$  спокойной ионосферы слабо зависит от уровня солнечной активности. В полдень величина  $\sigma(x)$  для высокой солнечной активности обычно меньше, чем для низкой активности. Зимой в полночь изменчивость ионосферы больше, чем летом, при любом уровне солнечной активности.

2. Зависимость изменчивости  $Nm$  от геомагнитной активности является одной из основных, наряду с зависимостями этой изменчивости от времени суток и сезона. В целом дисперсия  $\sigma^2(x)$  для спокойных условий меньше, чем для периодов высокой геомагнитной активности. Однако в периоды высокой геомагнитной активности дальнейший рост геомагнитной активности не

приводит к увеличению дисперсии  $\sigma^2(x)$ . Причины такого насыщения в увеличении  $\sigma^2(x)$  остается неизвестной.

В полдень для зимы высокой геомагнитной активности соответствует положительный сдвиг ( $x_{ave} > 0$ ), когда происходит увеличение  $Nm$  относительно спокойного уровня (положительная фаза ионосферной бури). Для лета в полдень и полночь высокой геомагнитной активности соответствует отрицательный сдвиг ( $x_{ave} < 0$ ), когда происходит уменьшение  $Nm$  относительно спокойного уровня (отрицательная фаза ионосферной бури). Амплитуда этой отрицательной фазы максимальна для лета в полночь при высокой геомагнитной активности, и она увеличивается при дальнейшем росте геомагнитной активности.

3. Насыщение в увеличении дисперсии  $\sigma^2(x)$  при продолжающемся увеличении геомагнитной активности и отсутствие этого насыщения для среднего сдвига  $x_{ave}$ , по-видимому, является устойчивым свойством изменчивости ионосфера средних широт в периоды геомагнитных бурь. Этот вывод получен на основе дополнительного анализа изменчивости ионосферы по данным станций Иркутск и Ямагава, которые расположены примерно на 10 градусов севернее и южнее ст. Алма-Ата соответственно.

4. В периоды геомагнитных бурь ( $ap(\tau) > 48$ ) в среднем преобладает отрицательная фаза ионосферной бури ( $x_{ave} < 0$ ), абсолютная величина которой увеличивается с широтой: для ст. Иркутск и Ямагава она примерно в два раза больше и меньше соответственно, чем для ст. Алма-Ата.

## 7. БЛАГОДАРНОСТИ

Данные критических частот F2-слоя анализируемых ионосферных станций, индексы солнечной и геомагнитной активности были взяты с сайтов Space Physics Interactive Data Resource (SPIDR, <http://spidr.ngdc.noaa.gov/>, до 2015 года), WDC for Solar-Terrestrial Physics, Chilton (<http://www.ukssdc.ac.uk/wdcc1/>), WDC for Geomagnetism, Kyoto (<http://wdc.kugi.kyoto-u.ac.jp/>).

## ФИНАНСИРОВАНИЕ РАБОТЫ

Исследование выполнено при частичной поддержке Российского научного фонда в рамках научного проекта № 20-72-10023.

## СПИСОК ЛИТЕРАТУРЫ

- Деминов М.Г., Жеребцов Г.А., Пирог О.М., Шубин В.Н. Регулярные изменения критической частоты F2-слоя спокойной ионосферы средних широт // Геомагнетизм и аэрономия. Т. 49. № 3. С. 393–399. 2009.
- Деминов М.Г., Деминова Г.Ф., Жеребцов Г.А., Полех Н.М. Свойства изменчивости концентрации максимума

F2-слоя над Иркутском при разных уровнях солнечной и геомагнитной активности // Солнечно-земная физика. Т. 1. № 1. С. 56–62. 2015.

<https://doi.org/10.12737/6558>

— Altadill D. Time/altitude electron density variability above Ebro, Spain // Adv. Space Res. V. 39. № 5. P. 962–969. 2007.

<https://doi.org/10.1016/j.asr.2006.05.031>

— Araujo-Pradere E.A., Fuller-Rowell T.J., Codrescu M.V. STORM: An empirical storm-time ionospheric correction model, 1, Model description // Radio Sci. V. 37. № 5. 1070. 2002.

<https://doi.org/10.1029/2001RS002467>

— Araujo-Pradere E.A., Fuller-Rowell T.J., Codrescu M.V., Bilitza D. Characteristics of the ionospheric variability as a function of season, latitude, local time, and geomagnetic activity // Radio Sci. V. 40. № 5. RS5009. 2005.

<https://doi.org/10.1029/2004RS003179>

— Bilitza D. IRI the international standard for the ionosphere // Adv. Radio Sci. V. 16. P. 1–11. 2018.

<https://doi.org/10.5194/ars-16-1-2018>

— Buonsanto M.J. Ionospheric storms: a review // Space. Sci. Rev. V. 88. № 3–4. P. 563–601. 1999.

<https://doi.org/10.1023/A:1005107532631>

— Deminov M.G., Deminova G.F., Zhrebtskov G.A., Polekh N.M. Statistical properties of variability of the quiet ionosphere F2-layer maximum parameters over Irkutsk under low solar activity // Adv. Space Res. V. 51. № 5. P. 702–711. 2013.

<https://doi.org/10.1016/j.asr.2012.09.037>

— Forbes J.M., Palo S.E., Zhang X. Variability of the ionosphere // J. Atmos. Sol.-Terr. Phys. V. 62. № 8. P. 685–693. 2000.

[https://doi.org/10.1016/S1364-6826\(00\)00029-8](https://doi.org/10.1016/S1364-6826(00)00029-8)

— Fotiadis D.N., Kouris S.S. A functional dependence of foF2 variability on latitude // Adv. Space Res. V. 37. № 5. P. 1023–1028. 2006.

<https://doi.org/10.1016/j.asr.2005.02.054>

— Lei J., Liu L., Wan W., Zhang S.-R. Variations of electron density based on long-term incoherent scatter radar and ionosonde measurements over Millstone Hill // Radio Sci. V. 40. № 2. RS2008 2005.

<https://doi.org/10.1029/2004RS003106>

— Liu L., Wan W., Ning B., Pirog O.M., Kurkin V.I. Solar activity variations of the ionospheric peak electron density // J. Geophys. Res. – Space. V. 111. № 8. A08304. 2006.

<https://doi.org/10.1029/2006JA011598>

— Ma R., Xu J., Wang W., Yuan W. Seasonal and latitudinal differences of the saturation effect between ionospheric NmF2 and solar activity indices // J. Geophys. Res. – Space. V. 114. № 10. A10303. 2009.

<https://doi.org/10.1029/2009JA014353>

— Pavlov A.V., Pavlova N.M., Makarenko S.F. A statistical study of the mid-latitude NmF2 winter anomaly // Adv. Space Res. V. 45. № 3. 374–385. 2010.

<https://doi.org/10.1016/j.asr.2009.09.003>

— Pirog O., Deminov M., Deminova G., Zhrebtskov G., Polekh N. Peculiarities of the nighttime winter foF2 increase over Ir-

- kutsk // *Adv. Space Res.* V. 47. № 6. P. 921–929. 2011.  
<https://doi.org/10.1016/j.asr.2010.11.015>
- *Ratovsky K.G., Medvedev A.V., Tolstikov M.V.* Diurnal, seasonal and solar activity pattern of ionospheric variability from Irkutsk Digisonde data // *Adv. Space Res.* V. 55. № 8. P. 2041–2047. 2015.  
<https://doi.org/10.1016/j.asr.2014.08.001>
- *Ratovsky K.G., Medvedeva I.V.* Local empirical model of ionospheric variability // *Adv. Space Res.* V. 71. № 5. P. 2299–2306. 2023.  
<https://doi.org/10.1016/j.asr.2022.10.065>
- *Richards P.G., Fennelly J.A., Torr D.G.* EUVAC: A solar EUV flux model for aeronomics calculations // *J. Geophys. Res. – Space.* V. 99. № 5. P. 8981–8992. 1994.  
<https://doi.org/10.1029/94JA00518>
- *Richards P.G., Woods T.N., Peterson W.K.* HEUVAC: A new high resolution solar EUV proxy model // *Adv. Space Res.* V. 37. № 2. P. 315–322. 2006.  
<https://doi.org/10.1016/j.asr.2005.06.031>
- *Rishbeth H., Mendillo M.* Patterns of F2-layer variability // *J. Atmos. Sol.-Terr. Phys.* V. 63. N 15. P. 1661–1680. 2001.  
[https://doi.org/10.1016/S1364-6826\(01\)00036-0](https://doi.org/10.1016/S1364-6826(01)00036-0)
- *Taylor J.R.* An introduction to error analysis. — Mill Valley, CA: Univer. Sci. Books, 270 p. 1982.
- *Wrenn G.L.* Time-weighted accumulations  $ap(\tau)$  and  $Kp(\tau)$  // *J. Geophys. Res. – Space.* V. 92. № 9. P. 10125–10129. 1987.  
<https://doi.org/10.1029/JA092iA09p10125>
- *Wrenn G.L., Rodger A.S.* Geomagnetic modification of the mid-latitude ionosphere – Toward a strategy for the improved forecasting of foF2 // *Radio Sci.* V. 24. № 1. P. 99–111. 1989.  
<https://doi.org/10.1029/RS024i001p00099>
- *Zhang S.-R., Holt J.M.* Ionospheric climatology and variability from long-term and multiple incoherent scatter radar observations: variability // *Ann. Geophys.* V. 26. № 6. P. 1525–1537. 2008.  
<https://doi.org/10.5194/angeo-26-1525-2008>